



### HNbWO<sub>6</sub> como suporte ativo para nanopartículas de Ru e Rh na hidrólise de NH<sub>3</sub>BH<sub>3</sub>

Beatriz R. Olímpio\*(G)<sup>1</sup>, Noemí C. S. de Souza (PG)<sup>1</sup>, Gessica do C. Dias (PG)<sup>1</sup>, Juliana P. Gomes (PG)<sup>2</sup>, Bárbara F. De Souza (G) <sup>1</sup>, Tiago A. Silva (PQ)<sup>1</sup>, Geraldo M. de Lima (PQ)<sup>2</sup>, Renata P. L. Moreira (PQ)<sup>1</sup>.

\*beatriz.olimpio@ufv.br1

<sup>1</sup>Universidade Federal de Vicosa (UFV), <sup>2</sup>Universidade Federal de Minas Gerais (UFMG)

#### **RESUMO**

O gás hidrogênio é amplamente reconhecido como o combustível do futuro, mas ainda enfrenta desafios significativos relacionados ao seu armazenamento e transporte. Neste trabalho, HNbWO<sub>6</sub> foi decorado com nanopartículas bimetálicas de Ru e Rh e avaliado como catalisador para a liberação de H<sub>2</sub> via hidrólise do NH<sub>3</sub>BH<sub>3</sub>. O HNbWO<sub>6</sub> foi obtido via troca iônica do LiNbWO<sub>6</sub> com HNO<sub>3</sub>, e caracterizado por Difração de Raios X (DRX), Espectroscopia de Infravermelho por Transformada de Fourier (FTIR), Microscopia Eletrônica de Varredura (MEV), Análise Termogravimétrica (TGA) e Análise de Fissiorção de Nitrogênio para determinação de área superficial específica. A caracterização comprovou a síntese bem-sucedida do material, com estrutura cristalina correspondente ao cartão JCPDS 41-110, elevada estabilidade térmica e propriedades mesoporosas. As nanopartículas foram sintetizadas pelo método de redução química com NaBH<sub>4</sub>. Ensaios catalíticos mostraram que a composição 80%Ru-20%Rh (5 mmol%) com 40 mg de suporte resultou na maior taxa de geração de H<sub>2</sub> (HGR = 27.972 mL g<sup>-1</sup> min<sup>-1</sup>), a 25 °C. Os resultados indicam desempenho promissor frente à literatura, sendo previstos novos estudos para elucidar a influência da água e aspectos cinéticos do sistema.

Palavras-chave: materiais a base de nióbio, armazenador de hidrogênio, catálise, nanomateriais.

### Introdução

O desenvolvimento de catalisadores continua sendo um desafio central no contexto do armazenamento químico de hidrogênio. Em particular, catalisadores heterogêneos que combinem alta eficiência com viabilidade econômica são essenciais para viabilizar a liberação controlada de hidrogênio por meio da hidrólise do borano de amônio (NH<sub>3</sub>BH<sub>3</sub>, AB)<sup>1</sup>. A hidrólise de AB acontece de acordo com a Eq. 1. Catalisadores baseados em metais nobres, como paládio (Pd), rutênio (Ru), ródio (Rh) e platina (Pt), têm se destacado por sua elevada atividade catalítica nesse processo<sup>2</sup>. No entanto, devido à elevada energia de superfície, nanopartículas metálicas puras apresentam tendência à aglomeração ao longo da reação catalítica, o que pode resultar em uma redução significativa da eficiência catalítica<sup>3</sup>. A utilização de suportes apropriados é, portanto, essencial para otimizar o desempenho desses catalisadores. Nesse contexto, o HNbWO6, um óxido metálico lamelar caracterizado por sua forte acidez de Brønsted e propriedades estruturais distintas, pode ser utilizado para esse fim. Diante disso, este trabalho teve como objetivo sintetizar nanopartículas bimetálicas de RuRh suportadas em HNbWO6 para aplicação na geração de H2 via hidrólise do NH3BH3, visando elevada eficiência catalítica sob condições brandas.

# **Experimental**

Síntese do HNbWO6

Para a síntese do HNbWO<sub>6</sub>, 10 g de LiNbWO<sub>6</sub> foram dispersos em 100 mL de solução de HNO<sub>3</sub> (4 mol L<sup>-1</sup>) sob refluxo e agitação a 100 °C, durante 20 h. A cada 5 h, o sólido foi lavado com água ultrapura aquecida e filtrado, a fim de remover o excesso de ácido, sendo então reintroduzida uma nova porção da solução de HNO<sub>3</sub> recém-preparada. Ao final do processo, o material sólido foi seco em estufa a 110 °C por 12 h (overnight).

Síntese do RuRh NPs/HNbWO6

A síntese do material RuRh NPs/HNbWO<sub>6</sub> foi realizada utilizandose 40 mg de HNbWO<sub>6</sub>, previamente dispersos em 5 mL de água ultrapura sob agitação. Em seguida, foram adicionadas soluções contendo 5 mmol% de metais (80% Ru e 20% Rh, em relação à dosagem de NH<sub>3</sub>BH<sub>3</sub>), mantendo-se a agitação contínua. Posteriormente, adicionou-se 1,00 mL de solução de NaBH<sub>4</sub> (1,00 mol L<sup>-1</sup>) ao sistema, com o objetivo de promover a redução dos íons metálicos na superfície do HNbWO<sub>6</sub>. Na sequência, o material foi centrifugado a 4000 rpm, lavado com água Milli-Q e submetido a mais duas etapas de lavagem e centrifugação nas mesmas condições.

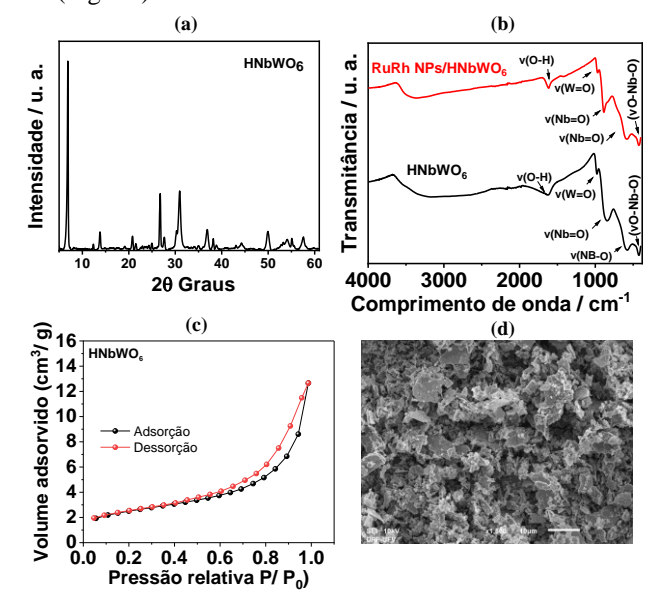


Evolução de hidrogênio a partir do NH3BH3

O RuRh NPs/HNbWO<sub>6</sub> foram dispersos em 2,00 mL de água ultrapura e introduzida no sistema reacional. Esse sistema era constituído por um tubo de Schlenk conectado a uma bureta preenchida com água, de modo que o gás gerado durante a reação deslocasse a coluna de água, permitindo a medição do volume de gás produzido. Após a montagem do sistema, 1,00 mL de uma solução de NH<sub>3</sub>BH<sub>3</sub> (0,580 mol L<sup>-1</sup>) foi injetado com o auxílio de uma seringa através do septo. Durante todo o experimento, o sistema foi mantido sob agitação constante, à temperatura controlada de 25 °C (298,15 K). O volume de gás deslocado foi então convertido na quantidade de hidrogênio produzido.

#### Resultados e Discussão

Os materiais foram caracterizados por diferentes técnicas. A análise de DRX (Fig. 1a) do HNbWO6 confirmou a síntese bem-sucedida do material, cujos padrões de difração estão em conformidade com o cartão JCPDS 41-110. A análise termogravimétrica (TGA) indicou alta estabilidade térmica, com perda de massa inferior a 9,5% até 600 °C, valor semelhante ao reportado por Zhong, Guo e Chen<sup>4</sup>. As análises de FTIR (Fig. 1b) realizadas para o HNbWO<sub>6</sub>, com e sem a presença de RuRh NPs, evidenciaram as bandas vibracionais características da estrutura do óxido<sup>6</sup>. Não foram observadas bandas atribuíveis ao rutênio ou ao ródio, o que pode ser atribuído à baixa concentração dos metais ou à possível sobreposição de sinais. A área superficial determinada pelo método BET foi de 8,635 m<sup>2</sup> g<sup>-1</sup>, superior à encontrada por Hu e colaboradores5. Além disso, a isoterma de adsorção obtida (Fig. 1c) foi do tipo IV, típica de materiais mesoporosos. O material RuRh NPs/HNbWO6 não apresentou morfologia definida, como observado nas imagens de MEV (Fig. 1d).



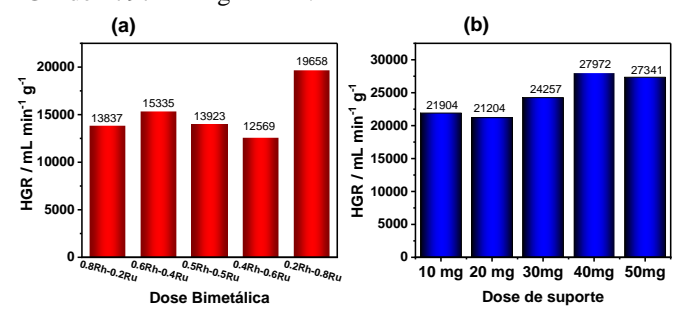
**Figura 1.** (a) DRX, (b) FTIR, (c) Isoterma de fisiossorção de  $N_2$  e (d) MEV dos materiais obtidos.

Os ensaios de evolução de hidrogênio foram inicialmente conduzidos com 3 mmol% de diferentes metais (Pt, Rh, Co, Ni e Ru). Dentre estes, o Ru e o Rh apresentaram as maiores taxas de geração de hidrogênio (HGR), com valores de 15.731 e 9.318 mL g<sup>-1</sup> min<sup>-1</sup>, respectivamente.



Dessa forma, os dois metais foram selecionados para a formação de composições bimetálicas em diferentes proporções (Fig. 2a), sendo o melhor desempenho obtido com a razão 80% Ru e 20% Rh, que resultou em umHGR de 19.659 mL g<sup>-1</sup> min<sup>-1</sup>. Em seguida, avaliou-se o efeito da dose metálica, variando-se a carga total de metais nos valores de1, 2, 3, 5 e 6 mmol%. O maior HGR foi alcançado com 5 mmol%,

21.904 mL g $^{-1}$  min $^{-1}$ . O efeito da dose de suporte também foi avaliada, com variações de 10, 20, 30, 40 e 50 mg (Fig. 2b). O melhor desempenho foi encontrado com 40 mg de suporte, obtendo-se um HGR de 27972 mL g $^{-1}$  min $^{-1}$ .



**Figura 2**. (a) Evolução de H<sub>2</sub> mediada por diferentes doses de metais. (b) Evolução de H<sub>2</sub> com diferentes doses de NPsRuRh/HNbWO<sub>6</sub>. Condições: 0,58 mmol de NH<sub>3</sub>BH<sub>3</sub>; 30 mg, T = 25°C.

#### Conclusões

Os ensaios realizados demonstraram que o catalisador produzido apresenta desempenho satisfatório quando comparado aos dados da literatura. No entanto, estudos adicionais são necessários para aprofundar a compreensão sobre a influência da água na reação e sobre os parâmetros cinéticos do sistema.

# Agradecimentos

CNPq (Processos 312400/2021-7, 405828/2022-5 e 407799/2022-2), FAPEMIG (RED-00144-22).

#### Referências

- 1. Li, Y.; Wei, Q.; Huang, H.; Qiu, S.; Xia, Y.; Zou, Y.; Xu, F.; Sun, L.; Chu, H.; *Int J Hydrogen Energy* **2025**, *109*, 325. https://doi.org/10.1016/j.ijhydene.2025.02.117
- Altaf, C. T.; Colak, T. O.; Minkina, V. G.; Shabunya, S. I.; Sankir, M.; Sankir, N. D.; Kalinin, V. I.; Catal Letters 2025, 155, 89. https://doi.org/10.1007/s10562-024-04930-5
- 3. Cao, Y.; Yang, S.; Liu, P.; Zhu, Q.; Zheng, X.; *Appl Surf Sci* **2025**, 688, 162345. https://doi.org/10.1016/j.apsusc.2025.162345
- 4. Zhong, J.; Guo, Y.; Chen, J.; *Journal of Energy Chemistry* **2017**, 26, 147. https://doi.org/10.1016/j.jechem.2016.09.010.
- 5. Liu, Y.; Xiong, J.; Luo, S.; Liang, R.; Qin, N.; Liang, S.; Wu, L.; *Chemical Communications* **2015**, *51*, 15125. https://doi.org/10.1117/1.jnp.9.093041
- 6. Hu, L.-F.; Li, R.; He, J.; Da, L.; Lv, W.; Hu, J. ; *J Nanophotonics* **2015**, *9*, 093041. https://doi.org/10.1039/C5CC05788D